

**СХОДЯЩАЯСЯ УДАРНАЯ ВОЛНА  
В ИДЕАЛЬНОЙ НЕУПРУГОЙ НЕОДНОРОДНОЙ СРЕДЕ**

*И. В. Симонов*

(Москва)

Решена краевая задача о симметричной фокусировке ударной волны в среде с переменной плотностью при нагрузке, принимающей постоянное значение (модель пористого тела с переменной начальной пористостью). Исследована асимптотика решения. Фокусировка в однородной среде изучена в [1]. Рассмотрена одна обратная задача, имеющая отношение к выбору оптимального режима прессования. Затронут вопрос об ограничении применимости модели.

Пусть к поверхности сферы (цилиндра, слоя), начальная плотность которой является дифференцируемой функцией радиуса ( $\rho = \rho(r)$ ), в момент времени  $t=0$  прикладывается равномерная нагрузка  $p_0(t)$ . Примем, что нагрузка сразу достигает конечного значения  $p_0(0) > 0$  и далее не возрастает (физический смысл этого условия — взрыв на поверхности); среда идеальная (без касательных напряжений). Плотность среды в любой точке становится равной  $\rho_1 = \text{const}$  ( $0 < \rho < \rho_1$ ) и остается таковой, если давление в этой точке достигло значения, сколь-нибудь большего нуля. Такая простейшая модель приближенно описывает поведение тела с переменной пористостью и однородным скелетом при высоких нагрузках.

От поверхности к центру тогда будет распространяться ударная волна. Процесс фокусировки ударной волны в однородной среде изучался в [1]. Целью данного сообщения является исследование влияния неоднородности на движение среды за фронтом сходящейся ударной волны. В частности, представляет интерес изменение степени кумуляции ударной волны. Ожидается, как и в случае идеального газа переменной плотности [2], что выбором  $\rho(r)$  можно либо ослабить, либо усилить кумуляцию.

В области, ограниченной движущейся поверхностью  $r=R_1(t)$  и фронтом ударной волны  $r=R(t)$ , выполняются уравнения движения и неразрывности

$$(1) \quad \frac{\partial u}{\partial t} + u \frac{\partial u}{\partial r} + \frac{1}{\rho_1} \frac{\partial p}{\partial r} = 0, \quad \frac{\partial u r^v}{\partial r} = (R_1(t) < r < R(t)),$$

а на фронте ударной волны и поверхности — следующие условия:

$$(2) \quad u = u_*(t) = \theta(R) \dot{R}, \quad p = p_*(t) = \rho(R) \theta(R) \dot{R}^2 \quad (r = R(t)),$$

$$P = P_0(t) \quad (r = R_1(t)),$$

где  $U$  — массовая скорость;  $v=0, 1, 2$ , что соответствует случаям слоя, цилиндра и сферы;  $\theta(R)=1 - \rho(R)/\rho_1$ ; точка сверху означает производную по времени;  $R(0)=R_1(0)=R_0$ .

Из уравнения неразрывности и первого условия на фронте следует

$$(3) \quad u = \theta(R) \dot{R} \left( \frac{R}{r} \right)^v; \quad \dot{R}_1^{v+1} = R_0^{v+1} + (v+1) \int_{R_0}^R \theta(y) y^v dy.$$

Подставляя полученное выражение для  $u$  в первое уравнение (1) и интегрируя по  $r$  от  $r=R$  до  $r=R_1$ , придем к следующему уравнению для  $\dot{R}(t)$ :

$$(4) \quad R\ddot{R} + \frac{1}{2} A_v \dot{R}^2 = B'_v \quad (R(0) = R_0, \dot{R}^2(0) = p_0(0)/[\rho(R_0)\theta(R_0)]);$$

$$\begin{aligned} A_0 &= 2 \left[ R(\ln \theta)'_R - \frac{1-\theta}{R_1/R-1} \right]; \quad B'_0 = -\frac{p_0(t)}{\rho_1 \theta(R)(R_1/R-1)}; \\ A_1 &= 2 \left[ 1 + R(\ln \theta)'_R - \frac{1-(\theta/2)(1+R^2/R_1^2)}{\ln(R_1/R)} \right]; \quad B'_1 = -\frac{p_0(t)}{\rho_1 \theta(R) \ln(R_1/R)}; \\ A_2 &= 2 \left[ 2 + R(\ln \theta)'_R - \frac{1-(\theta/2)(1+R^4/R_1^4)}{1-R/R_1} \right]; \quad B'_2 = -\frac{p_0(t)}{\rho_1 \theta(R)(1-R/R_1)}. \end{aligned}$$

Введем безразмерные переменные  $x=R/R_0$ ,  $g=\dot{R}^2/R^2(0)$ , а чертой сверху обозначим величины, отнесенные к своим значениям при  $t=0$  или  $x=1$ .

Принимаем, что  $p_0$  задана как функция радиуса фронта  $x$  [1]. Из решения задачи можно затем определить функцию  $p_0(t)$ , которой соответствует полученное решение (полуобратный метод). Последовательными приближениями, вероятно, можно построить решение для любой непрерывной функции  $p_0(t)$ . Такой способ задания граничного условия не играет роли в исследовании асимптотики решения при  $x \rightarrow 0$  [1].

Не меняя обозначений, предполагаем зависимость всех функций от  $x$  вместо  $t$ . Уравнение (4) примет вид

$$(5) \quad x \frac{dg}{dx} + A_v g = B'_v \quad (g(1) = 1).$$

Здесь

$$\begin{aligned} B_v &= -Q(x)/\varphi_v(x_v, x), \text{ где} \\ \varphi_0 &= x_0/x - 1, \quad \varphi_1 = \ln(x_1/x), \quad \varphi_2 = 1 - x/x_2; \\ Q(x) &= 2\theta(1)[1 - \theta(1)]\bar{p}_0(x)/\theta(x); \\ x_v^{v+1} &= 1 + (v+1) \int_1^x \theta(y) y^v dy. \end{aligned}$$

Аналогично [1], выделяя особенности у несобственных интегралов в решении (5), получим

$$(6) \quad g = \frac{\exp[-G_v(x)]}{\theta^2(x)\psi_v^2(x)} \int_1^x \theta^2(\xi) \psi_v^2(\xi) B_v(\xi) \exp[G_v(\xi)] \frac{d\xi}{\xi} \quad (0 < x < 1).$$

Здесь

$$\begin{aligned} G_v &= 2 \int_1^x \left[ \frac{1}{1-\xi} - \xi_0 \frac{1-\theta(\xi)}{1-\xi_0} \right] \frac{d\xi}{\xi}, \\ G_1 &= \int_1^x \left[ \frac{2-\theta(\xi)(1+\xi_1^2)}{\ln \xi_1} - \frac{2}{\ln \xi} \right] \frac{d\xi}{\xi}, \\ G_2 &= \int_1^x \left[ \frac{2}{1-\xi} - \frac{2-\theta(\xi)(1+\xi_2^4)}{1-\xi_2} \right] \frac{d\xi}{\xi}, \end{aligned}$$

где

$$\xi_v = \xi / \left[ 1 + (v+1) \int_1^{\xi} \theta(y) y^v dy \right]^{\frac{1}{v+1}};$$

$$\psi_0 = x^{-1} - 1, \quad \psi_1 = x \ln x, \quad \psi_2 = x(1-x).$$

Выражения для величин на фронте следуют из (2)

$$(7) \quad \bar{p}_* = \bar{\rho}(x)\bar{\theta}(x)g(x); \quad \bar{u}_* = \bar{\theta}(x)\sqrt{g(x)}.$$

За фронтом массовая скорость согласно (3) имеет вид

$$u = u_*(x/z)^v \quad (z = r/R),$$

а  $\bar{p}(x, z)$  определим, интегрируя первое уравнение (1) от некоторой точки  $z$  внутри области до  $z=x$

$$\bar{p} = \bar{p}_* - \left[ \left( xg\bar{\theta}' + \frac{1}{2}g'\bar{\theta} + vg\bar{\theta} \right) \varphi_v(z, x) - \frac{1}{2}g(1 - x^{2v}/z^{2v})\theta\bar{\theta} \right] [1 - \theta(1)].$$

Здесь штрихом отмечены производные по  $x$ .

Функцию  $x=x(t)$  можно определить из уравнения

$$t = \frac{R_0}{\dot{R}(1)} \int_x^1 \frac{dy}{\sqrt{g(y)}}.$$

Тогда искомые функции будут известны как функции переменных  $z$  и  $t$ .

Асимптотику  $g(x)$  при  $x \rightarrow 0$  вычислим из (6)

$$(8) \quad g \sim \frac{1}{\theta^2} \quad (v=0), \quad g \sim \frac{s^{\theta_0-2}(x)}{x^2\theta^2} \quad (v=1), \quad g \sim \frac{1}{x^{2+\theta_0\theta^2}} \quad (v=2),$$

$$\begin{aligned} & \left( \theta_0 = \theta(0), \quad s = \ln \frac{x_1(0)}{x}, \right. \\ & \left. x_1(0) = \left[ 1 - 2 \int_0^1 \theta(y) y dy \right]^{1/2} \right). \end{aligned}$$

Асимптотика величин на фронте следует из (7). Если  $\theta$  и  $\rho$  одновременно принимают не нулевые значения при  $x=0$ , то асимптотика всех функций при  $x \rightarrow 0$  не отличается от случая однородной среды. Пусть распределение плотности  $\rho/\rho_0 \sim x^\alpha (\alpha > 0)$  при  $x \rightarrow 0$ . Тогда  $\theta \sim 1$  и

$$(9) \quad \begin{aligned} p_* & \sim x^\alpha, \quad \dot{R} \sim 1, \quad u_* \sim 1 \quad (v=0), \\ p_* & \sim \frac{s^{-1}}{x^{2-\alpha}}, \quad \dot{R} \sim \frac{s^{-1/2}}{x}, \quad u_* \sim \frac{s^{-1/2}}{x} \quad (v=1), \\ p_* & \sim \frac{1}{x^{3-\alpha}}, \quad \dot{R} \sim \frac{1}{x^{3/2}}, \quad u_* \sim \frac{1}{x^{3/2}} \quad (v=2). \end{aligned}$$

Асимптотика приращения удельной внутренней энергии на фронте  $e = \frac{1}{2}\dot{R}^2(1)\theta^2 g$ , которое здесь является приращением тепловой части внутренней энергии и определяет распределение температуры в среде [1], имеет вид

$$e_* \sim 1 \quad (v=0), \quad e_* \sim x^{-2}s^{-1} \quad (v=1), \quad e_* \sim x^{-3} \quad (v=2).$$

Рассмотрим теперь случай  $\theta \sim x^\beta$ ,  $\rho/\rho \rightarrow 1$  ( $x \rightarrow 0$ ,  $\beta > 0$ )

$$(10) \quad \begin{aligned} p_* &\sim x^{-\beta}, \quad \dot{R} \sim x^{-\beta}, \quad u_* \sim 1, \quad e_* \sim 1 \quad (\nu=0), \\ p_* &\sim \frac{s^{-2}}{x^{2+\beta}}, \quad \dot{R} \sim \frac{s^{-1}}{x^{1+\beta}}, \quad u_* \sim \frac{s^{-1}}{x}, \quad e_* \sim \frac{s^{-2}}{x^2} \quad (\nu=1), \\ p_* &\sim \frac{1}{x^{2+\beta}}, \quad \dot{R} \sim \frac{1}{x^{1+\beta}}, \quad u_* \sim \frac{1}{x}, \quad e_* \sim \frac{1}{x^2} \quad (\nu=2). \end{aligned}$$

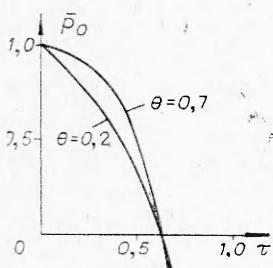
Из (9), (10) следует, что асимптотика функций  $u_*$  и  $e_*$  слабо зависит от  $\rho(x)$ : для  $\nu=1, 2$  они имеют особенность при  $x \rightarrow 0$ , порядок которой несколько изменяется при переходе от случая нулевой плотности в центре к случаю нулевой пористости в центре. Сильнее неоднородность сказывается на поведении  $p_*$ . При  $\rho/\rho_1 \sim x^3$  ( $\nu=2$ ) и  $\rho/\rho_1 \sim x^2 s(x)$  ( $\nu=1$ ) давление на фронте  $p_* \sim \text{const}$ . Если степень убывания плотности больше или меньше указанной, давление либо убывает, либо растет при приближении волны к центру. Интересно отметить, что при  $\alpha+\beta=1$  степень роста  $p_*$  ( $\nu=2$ ) одинакова в (9) и (10).

Полученные результаты могут представить интерес для такого рода приложений, как динамическое прессование металлических порошков, в частности, для определения оптимального режима прессования, который можно сформулировать в виде обратной задачи, например, задачи определения формы и величины приложенного импульса для получения заданного режима прессования. Рассмотрим один частный случай этой задачи для однородного цилиндрического образца ( $\rho=\text{const}$ ). Определим  $p_0(t)$  из условия, что  $p_*(t) = \text{const} = p_0(0)$  (равномерная пропрессовка образца). Тогда  $\dot{R}(t)=\text{const}$  и  $g=1$ . Уравнение (5) превращается в уравнение для определения  $p_0(x)$ , а  $x$  играет роль безразмерного времени ( $x=1+Rt/R_0$ ).

Получим  $\bar{p}_0 = \left[ 1 + \ln \tilde{x} - \frac{\theta}{2} (1 + \tilde{x}^2) \right] / (1 - \theta)$ . Здесь  $\tilde{x} = x/(1 - \theta + \theta x^2)^{1/2}$ .

На фигуре показаны графики зависимости  $\bar{p}_0 = \bar{p}_0(\tau)$  ( $\tau = -\dot{R}t/R_0$ ) для  $\theta=0,2; 0,7$ . Видно, что при  $\tau > 0,63$  ( $x < 0,37$ ) для поддержания  $p_* = \text{const}$  требуется прикладывать отрицательные давления. Отметим, что точка  $x \approx 0,37$  является началом роста  $p_*$  в однородной среде при любой функции  $p_0(x)$ . Если при  $\tau > 0,63$  давление  $p_0$  оставить нулевым, то  $\approx 5/7$  массы цилиндра будет пропрессовано в одинаковых условиях. Полностью равномерную пропрессовку при этом можно в принципе обеспечить выбором  $\rho(x)$ .

В заключение сделаем некоторые замечания по вопросу ограничения применимости модели уплотняющегося тела к реальным средам. В работе [1] отмечалось, что условием применимости модели является  $\dot{R}^2/c^2 \ll 1$ , где  $c$  — скорость звука за фронтом ударной волны. Это условие, очевидно, нарушается при  $\theta \rightarrow 0$  (при этом  $|\dot{R}|$  становится порядка  $c$ ) и при фокусировке, поскольку  $|\dot{R}|$  растет с ростом амплитуды волны быстрее, чем скорость звука. Таким образом, из-за сжимаемости скелета с ростом  $p_*$  степень кумуляции будет изменяться в сторону степени кумуляции сплошного материала и не будет столь высокой, как предсказывает изложенная



теория. Поэтому асимптотические формулы (8) — (10) и результаты работы [1] следует рассматривать как оценки сверху реальных процессов кумуляции ударных волн в пористых средах.

*Поступила 30 I 1975*

#### ЛИТЕРАТУРА

- Симонов И. В. О сходящейся ударной волне в идеально неупругой среде и устойчивости кумуляции.— ПМТФ, 1975, № 5.
- Черноуско Ф. Л. Сходящиеся ударные волны в газе переменной плотности.— ПММ, 1960, т. 24, вып. 5.

УДК 550.348.42

### РАСЧЕТ ВЫХОДА ГАЗООБРАЗНЫХ ПРОДУКТОВ ПОДЗЕМНОГО ВЗРЫВА В АТМОСФЕРУ

*В. В. Адушкин, П. Б. Каазик*

(Москва)

Произведен расчет нестационарного режима фильтрации газа из котловой полости камуфлетного подземного взрыва через разрушенную пористую среду. Вычисления выполнены для сферически-симметричного и плоского движения газа. Использован двучленный закон фильтрации. Получено пространственно-временное распределение давления газа внутри среды. Построены годографы движения «фронтов» фильтрации и границы контакта продуктов взрыва с воздухом. Исследовано влияние фильтрационных характеристик грунта и величины давления в котловой полости. На основании известных данных по проницаемости некоторых типов пород, подвергшихся действию взрыва, определено время выхода газа в атмосферу. Установлено изменение потока газа во времени в зависимости от глубины взрыва.

Камуфлетные подземные взрывы характеризуются незначительным подъемом свободной поверхности грунта. Тем не менее в подавляющем большинстве подобных взрывов в результате воздействия волн сжатия и растяжения, а также преимущественного перемещения вверх массив грунта вплоть до свободной поверхности оказывается в разрушенном состоянии. Поэтому на заключительной стадии развития камуфлетных взрывов под действием избыточного давления в котловой полости происходит процесс проникновения взрывных газов в многочисленные трещины и поры окружающего массива и последующее истечение в атмосферу: Для описания такого движения газа могут быть использованы представления теории фильтрации [1—3]. Подобный механизм выхода газообразных продуктов взрыва типичен для достаточно прочных пород, когда обрушение котловой полости либо отсутствует, либо происходит достаточно поздно.

При взрывах в слабых грунтах возможен принципиально другой механизм выхода газообразных продуктов в атмосферу за счет непрерывного обрушения котловой полости вплоть до свободной поверхности. Некоторые результаты измерений времен выхода газа в атмосферу по такому механизму в случае идеально сыпучей среды изложены в работе [4]. В реальных условиях проведения подземных взрывов в зависимости от масштаба взрыва и геологического строения массива возможно сочетание обоих механизмов выхода газа.